

2024 年日向灘の地震に伴う津波の波源分布

－N-net と DONET の水圧計記録の解析から－

国立研究開発法人防災科学技術研究所 地震津波発生基礎研究部門*

久保田達矢

国立研究開発法人防災科学技術研究所 地震津波複合災害研究部門/地震津波火山観測研究センター*

久保久彦・三好崇之・鈴木亘・青井真・功刀卓・武田哲也

Tsunami Source Modeling of the Earthquake beneath Hyuganada Sea on 8 August
2024 using Ocean-bottom Pressure Gauge Records of N-net and DONET

Tatsuya Kubota

Research Division for Earthquake and Tsunami Generation Mechanisms,

National Research Institute for Earth Science and Disaster Resilience

3-1, Tennodai, Tsukuba, Ibaraki, 305-0006, Japan

Hisahiko Kubo, Takayuki Miyoshi, Wataru Suzuki, Shin Aoi, Takashi Kunugi, and Tetsuya Takeda

Research Division for Earthquake, Tsunami and Multi-disasters / Center for Earthquake,

Tsunami, and Volcano Observation Research, National Research Institute for Earth Science and

Disaster Resilience

3-1, Tennodai, Tsukuba, Ibaraki, 305-0006, Japan

(責任著者のメールアドレス) kubotatsu@bosai.go.jp

* 〒305-0006 茨城県つくば市天王台 3-1

2024 年日向灘の地震に伴う津波の波源分布

—N-net と DONET の水圧計記録の解析から—

防災科学技術研究所* 久保田達矢・久保久彦・三好崇之・鈴木亘・青井真・
功刀卓・武田哲也

Tsunami Source Modeling of the Earthquake beneath Hyuganada Sea on 8 August
2024 using Ocean-bottom Pressure Gauge Records of N-net and DONET

Tatsuya Kubota, Hisahiko Kubo, Takayuki Miyoshi, Wataru Suzuki, Shin Aoi, Takashi Kunugi,
and Tetsuya Takeda

National Research Institute for Earth Science and Disaster Resilience

3-1 Tennodai, Tsukuba, Ibaraki 305-0006, Japan

(責任著者のメールアドレス) kubotatsu@bosai.go.jp

* 〒305-0006 茨城県つくば市天王台 3-1

1 **Abstract**

2 This study reports the tsunami source modeling of an M_{JMA} 7.1 earthquake which occurred
3 beneath Hyuganada Sea, off Miyazaki, Japan on 8 August 2024, using tsunami waveforms
4 recorded by the recently implemented offshore seafloor observation network called Nankai
5 Trough Seafloor Observation Network for Earthquakes and Tsunamis (N-net) together with
6 the Dense Oceanfloor Network system for Earthquakes and Tsunamis (DONET) installed in
7 the Nankai Trough subduction zone, off the Pacific coast of southwestern Japan. We first
8 processed the ocean-bottom pressure gauge data from the N-net offshore system and DONET
9 to extract tsunamis, which showed the tsunamis up to a few centimeters were clearly recorded.
10 The station NAE18 of N-net, nearest to the epicenter, observed the pressure offset change
11 corresponding to the permanent seafloor vertical uplift of approximately 5 cm. We then
12 forwardly simulated tsunamis based on centroid moment tensor solutions and finite fault
13 models of the previous studies, indicating the good observation performance of the N-net
14 ocean-bottom pressure gauges. We finally conducted the inversion analysis of the tsunami
15 waveforms to estimate the tsunami source distribution, which extends in a dimension of

16 approximately 40 km × 20 km along the strike and dip directions, respectively. From the
17 comparison with the past studies, the rupture area of the 2024 earthquake was likely to
18 overlapped with the southern half of the rupture area of the M_{JMA} 7.0 earthquake in 1961,
19 while the rupture areas of the M_{JMA} 6.7 and 6.9 earthquakes in 1996 seemed separated from
20 the 2024 event. This study demonstrates that the use of the near-field tsunami waveforms from
21 N-net significantly enhanced the constraint on tsunami source estimation as well as the finite
22 fault modeling off the coast of the western part of the Nankai Trough subduction zone. N-net
23 also have the potential to improve the tsunami monitoring and prompt evaluation for the
24 "Nankai Trough Earthquake Extra Information."

25

26 Key words: Nankai Trough, Hyuganada Sea, Tsunami, N-net, DONET

27 § 1. はじめに

28 西南日本の南海トラフ沈み込み帯では、1944 年昭和東南海地震や 1946 年昭和南海
29 地震といった巨大地震がくりかえし発生し [e.g. Ishibashi (2004)], 大きな被害をもた
30 らしてきた。近い将来においても同様の巨大地震が発生することが危惧されている
31 [e.g. 地震調査研究推進本部 (2001, 2013)]. こういった背景のもと、これまで南海ト
32 ラフ沈み込み帯における巨大地震の災害軽減や地震発生メカニズムの理解のために、
33 熊野灘と紀伊水道沖の海域には DONET (Dense Oceanfloor Network system for
34 Earthquakes and Tsunamis) が展開されてきた (Fig. 1) [Kaneda *et al.* (2015), Kawaguchi
35 *et al.* (2015), Aoi *et al.* (2020)]. 一方で、巨大地震の震源域と想定される海域のうち、
36 高知沖から日向灘にかけての海域には沖合の観測網は展開されていなかった。防災
37 科学技術研究所は、2019 年よりこの観測の空白域に南海トラフ海底地震津波観測網
38 N-net (Nankai Trough Seafloor Observation Network for Earthquakes and Tsunamis) の構築
39 を実施してきた [Aoi *et al.* (2023)]. N-net は沖合システムと沿岸システムの二つのシ
40 ステムからなる観測網で、各システムは海底ケーブルにつながれた 18 台の観測ノー
41 ドと 2 台の分岐装置および終端装置で構成される。各観測ノードの中には複数の地
42 震計や水圧計などが搭載される。二つのシステムのうち沖合システムの整備が 2024
43 年 7 月に完了し、3 ヶ月間の試験運用ののち、2024 年 10 月に本格運用が開始された。

44 2024 年 8 月 8 日 16:43 (日本時間) に、宮崎県沖の日向灘を震源とする $M_{\text{JMA}} 7.1$ の
45 地震が発生した。この地震では、宮崎県の日南市で震度 6 弱を観測したほか、東海地
46 方から奄美群島にかけて震度 5 強から 1 の揺れが観測された [気象庁 (2024a)]. この
47 地震のメカニズム解は西北西—東南東方向に圧力軸を持つ逆断層型で、陸のプレー
48 トとフィリピン海プレートの境界で発生した地震であった [気象庁 (2024b)]. 九州や
49 四国の太平洋沿岸地域では津波が観測され、宮崎港では最大で 0.5 m の津波が観測さ
50 れた (Fig. 1, 黒四角) [気象庁 (2024b)]. 以後、本稿では、この地震を「2024 年日向
51 灘の地震」あるいは「2024 年の地震」と記載する。2024 年日向灘の地震の震源域は
52 N-net が展開されている海域の西端に位置する。また、2024 年日向灘の地震は N-net
53 沖合システムの試験運用期間中に発生したものであり、その津波は DONET と N-net
54 沖合システムの水圧計でも観測された。この津波は、N-net 沖合システムが顕著な近
55 地津波を記録した初めての事例である。本論文では、N-net 沖合システムおよび
56 DONET が記録した 2024 年日向灘の地震の津波記録の特徴を整理し、津波の理論計

57 算をもとに N-net 沖合システムの水圧計が津波を正しく記録できているか評価し、か
58 つその記録を活用して津波波源分布の推定を試み、それらの結果を踏まえて N-net や
59 DONETにより震源域のごく近傍で津波記録が得られることの有用性について議論す
60 る。

61

62 § 2. データ

63 初めに、N-net と DONET における水圧計のセンサの仕様を述べる。N-net の水圧計
64 に搭載されている圧力センサは、N-net への実装に向けて開発された横河電機株式会
65 社製の MEMS (Micro Electro Mechanical Systems) 技術を用いたシリコン振動子による
66 ものである [Aoi *et al.* (2023). 野田・他 (2023), Shinohara *et al.* (2022), 篠原・他 (2023)].
67 DONET の水圧計は、Paroscientific 社により開発された精密水晶振動子を用いた圧力
68 センサ [e.g. Houston and Paros (1998)] を使用している [Aoi *et al.* (2020)]. これらの振
69 動子は、外部から加えられた圧力によってその発振周波数が変化するという性質を
70 持っており、その発振周波数を計測、換算することにより圧力を観測する。

71 次に、水圧記録に含まれる潮汐変動などの長周期成分や地震動や波浪などの短周
72 期成分を除去し、津波に由来する成分を抽出するためのデータの処理について説明
73 する。両観測網の記録は、ともにサンプリングレート 10 Hz で保存されているが、本
74 研究においては 1 Hz にリサンプリングしたのち、下記の処理を実施する。まず、潮
75 汐解析プログラム Baytap08 [Tamura *et al.* (1991), Tamura and Agnew (2008)] を用いて
76 潮汐変動成分を推定して除去した。潮汐変動を取り除いた波形を Fig. 2a に示す。震
77 央に最も近い観測点 NAE18 では、地震の前後で水圧に有意な水圧オフセットの減少
78 (5 hPa 程度) が記録されていたが、これは海底の上下変位に起因する静水圧変動と考
79 えられる [e.g. Tsushima *et al.* (2012)]. それ以外の観測点では、水圧オフセットに顕著
80 な変化はみられなかった。NAE18 以外の観測点は震央から十分に離れているため、
81 海底の上下変動に起因する水圧オフセットの変化がみられないのは妥当である。

82 続いて、潮汐を除去した後の波形では、全ての観測点において地震波に由来する高
83 周波な変動成分が含まれており、また、潮汐解析で取り除けなかったと思われる長周
84 期なトレンドも残存していたことから、これらの短周期および長周期な変動成分を
85 取り除くため、通過帯域 100–2000 s のバンドパスフィルタを適用した。ただし、顕
86 著なオフセットが記録された観測点 NAE18 では、水圧のオフセット成分を残すため

87 に、カットオフ周期 100 s のローパスフィルタを適用した。フィルタを適用した後の
88 波形を Fig. 2b に示す。以後の解析では、これらの波形を用いる。観測された津波の
89 振幅は、観測点近傍の N-net の観測点では最大で 3 cm 程度、震央から最も離れた
90 DONET の観測点では 1 cm に満たない程度であった。

91

92 § 3. 津波フォワード計算

93 2024 年日向灘の地震による津波の波源のおおよその位置を明らかにするため、陸
94 上の観測記録の解析から推定された震源パラメタにもとづいて津波の理論波形を計
95 算し、観測波形との比較を実施した。

96 3.1 手法

97 津波フォワード計算は、地震波の解析により得られた CMT 解にもとづいて 1 枚矩
98 形断層モデルを仮定して実施する。ここでは、遠地地震波形の解析により得られた
99 Global CMT (GCMT) によるもの [Ekström *et al.* (2012)], U. S. Geological Survey (USGS)
100 によるもの [USGS (2024)], および近地の地震波形の解析により得られた F-net によ
101 るもの [福山・他 (1998)] を使用する。断層の節面 (走向, 傾斜, すべり角) につい
102 ては、CMT 解の節面のうちプレート境界にそった西傾斜のものを採用し、断層の長
103 さ L , 幅 W , すべり量 D については、各 CMT 解のモーメントマグニチュード M_w を
104 もとに、Wells and Coppersmith (1994) のスケージングから仮定する。また、先行研究
105 で得られている断層モデルからも津波を計算する。陸上の GNSS データの解析によ
106 り得られた 1 枚矩形断層モデル [国土地理院 (2024)], 遠地地震波形の解析により得
107 られた USGS の有限断層モデル [USGS (2024)], 気象庁の有限断層モデル [気象庁
108 (2024c)], および近地地震波形の解析により得られた有限断層モデル [気象庁
109 (2024d)] を使用する。

110 仮定した各断層モデルからの津波フォワード計算の手順は、Kubota *et al.* (2018) の
111 ものに準拠する。まず、半無限均質媒質を仮定し、地表 (自由表面) における上下変
112 位の分布を計算する [Okada (1992)]。次に、計算された地表上下変位が海面上下変位
113 と一致するとみなし、これを入力として津波の線形長波方程式を用いて津波を理論
114 計算する。理論計算においては、海面の上下変動は瞬間的に生じると仮定する。津波
115 計算ののち、各観測点の座標における津波、すなわち海面波高の時間変化を取り出し、
116 それらを海底水圧の波形に換算する。この換算においては、1 cm の海面波高変化は

117 1 hPa の海底水圧変化に等しいと仮定し、かつ、海底永久変位に由来する水圧オフセ
118 ット成分の影響を考慮する (Tsushima *et al.* (2012) の手法).

119 3.2 結果

120 各モデルから計算した海底面および地表の上下変位の分布を Fig. 3 に示す. これら
121 の分布はおおむね似通っていたものの、隆起のピーク位置や最大隆起量には違いが
122 みられた. この違いは、仮定した断層の水平位置や断層深さの差によるものである.
123 各モデルから計算した津波波形の比較を Fig. 4 に示す. Fig. 4 では、Fig. 1 において
124 太線の三角で示した代表観測点での計算波形の比較を示している. いずれのモデル
125 においても、観測された津波の最大振幅や津波の卓越周期を再現した. 個別の断層モ
126 デルごとの計算波形の違いを詳細にみると、津波の初動やピークの到達タイミング
127 にわずかな違いがみられた (Fig. 4 破線). とくに、震央近傍の観測点では計算波形の
128 形状の違いが有意にみられた (たとえば、NAE18 や NAE15). なかでも、GCMT 解を
129 もとに仮定した断層モデルから計算した波形が、観測されたピーク到達タイミング
130 や振幅の再現度が高かった. このことは、2024 年日向灘の地震による津波の波源が
131 おおよそ GCMT にもとづいて仮定した断層モデルによる上下変位に近いことを示唆
132 する.

133 震源域から遠方にある DONET の計算波形の形状の断層モデルごとの差異は、N-
134 net の震源域近傍の観測点の波形 (NAE18 や NAE15) に比べるとさほど顕著ではな
135 い. さらに、N-net の観測波形では第 1 波の到達時刻が東側の観測点ほどより遅れて
136 いるのが明瞭で、かつ後続部分にも波形形状に違いがみられる (Fig. 2b). これに対
137 し、DONET では観測点の東西の広がり大きさに比べて西端 (たとえば MRG28) と
138 東端 (たとえば KMC21) とで、第 1 波の到達のタイミングや波形の形状に N-net ほ
139 どの顕著な差異はみられない. この理由として、DONET 観測点が震源域から遠く津
140 波の振幅が小さいことや、DONET では観測点どうしの間隔が近いことが挙げられる.
141 他にも、伝播する津波の波線経路が似ていることも関係すると考えられる. 津波の伝
142 播速度 c は水深 h_0 に依存するため ($c = (g_0 h_0)^{0.5}$, g_0 : 重力加速度), この地震による津
143 波が DONET の観測点に伝播する際には、その波の大部分は水深の深いトラフ軸に沿
144 って伝播する. これによって各観測点に到達する津波の波線はおおむね一致するこ
145 ととなったため、波形の形状が似ていたと解釈される (Fig. 1b).

146 以上の結果は、N-net の水圧計が津波を正しく記録できていることを示しており、

147 かつ、震源域の近傍にある N-net の記録が、2024 年日向灘の地震による海底の上下
148 の変位分布の詳細な情報を含んでいることを示している。次章では、これらの水圧計
149 の津波記録から、震源断層運動によって生じた海底の上下変動の分布の推定を試み
150 る。

151

152 § 4. 津波波源インバージョン

153 本章では、N-net および DONET の水圧計の津波記録のインバージョン解析により、
154 2024 年日向灘の地震による海底の上下変動（以後、津波波源と呼ぶ）の分布を推定す
155 る。以後、本解析のことを津波波源インバージョンと呼ぶ。

156 4.1 手法

157 津波波源インバージョンでは、Tsushima *et al.* (2012) や Kubota *et al.* (2021) の手法
158 を踏襲する。本解析では、解析領域内に多数の海底上下変位の要素（単位波源要素）
159 を配置し、各単位波源要素から生じた津波波形（津波グリーン関数）の線形重ね合わ
160 せにより表現される計算波形と、観測波形との残差二乗和が最小になるように単位
161 要素の上下変位量を推定する。本解析では、まず、前章のフォワード計算の結果を踏
162 まえて、単位波源要素を配置する領域（解析領域）を設定した（Fig. 5 の四角形の領
163 域）。続いて、解析領域に、空間広がり 16 km × 16 km の広がりをもつ単位波源要素
164 を、水平方向に 8 km ずつずらして配置する（Fig. 5 の十字シンボル）。それぞれの単
165 位波源要素が単位量（ここでは、1 cm）だけ隆起したと仮定して、津波フォワード計
166 算のときと同様の手順で、海底水圧理論波形を計算する。これらの波形に対し、観測
167 記録に適用したのと同じフィルタを適用する。すなわち、観測点 NAE18 の理論波
168 形にはローパスフィルタを、それ以外の観測点の理論波形にはバンドパスフィルタ
169 を適用する。以上により、津波グリーン関数を得る。

170 本解析においては、津波グリーン関数に対し線形性が成り立つ、すなわち、津波グ
171 リーン関数の線形重ね合わせによって観測記録が表現されると仮定して、観測記録
172 を再現するように各波源要素の変動量を逆問題により推定する。解析においては、解
173 を安定化させるために、空間スムージングと空間ダンピングの拘束を課す。それらの
174 重みは、試行錯誤的に決定したものをを用いる。

175 解析に使用するデータは、第 2 章で述べたバンドパスフィルタを適用した波形で
176 ある。ただし、震央に最も近い観測点 NAE18 では、海底上下変位に由来する水圧オ

177 フセット変化の情報を残すため、ローパスフィルタを適用した波形とする.ここでは、
178 将来的なリアルタイムのデータ解析への活用を見越し (5.2 節を参照), すべての観測
179 点において一律に地震発生から 1 時間後までの波形をインバージョンに使用する.

180 4.2 結果

181 津波波源インバージョン解析の結果を Fig. 5 に示す. 約 20 cm の最大隆起量をもつ
182 ひとつの大きな隆起域と, 隆起域と海岸線の間わずかな沈降域が得られた (Fig. 5a).
183 CMT 解にもとづくフォワード計算から期待されるように, 沈降域はほぼ陸に重なっ
184 ている. 陸域で生じた上下変位は津波を励起しないことから, 陸域に広がっている沈
185 降域は波源インバージョンでは解像されなかった. 隆起域の長軸方向 (CMT 解の走
186 向に沿った方向) の広がり約 40 km, 短軸方向の広がり約 20 km であった. 観測
187 点 NAE18 における隆起量は約 5 cm となり, 観測された水圧オフセット変化を説明
188 した. この分布から計算された N-net と DONET の水圧波形は, 解析に使用した 1 時
189 間以内の波形を非常によく再現した (Fig. 5c, 灰色実線). 地震発生から 1 時間以降に
190 も, いくつかの後続のフェイズが観測されているが, これらの後続の波形は沿岸から
191 の反射波によるものである. 本解析における津波シミュレーションでは, 詳細な沿岸
192 の地形を考慮していないため完全には再現できていないものの, いくつかのフェイ
193 ズは対応している.

194 震源域近傍の N-net の記録を使うことで津波の波源の推定の精度がどの程度向上
195 するかを検討するために, DONET の観測波形のみを用いて津波の波源分布の推定を
196 試みた. 解析に用いた観測点の設定以外は, オリジナルのインバージョンと同様であ
197 る. 解析の結果を Fig.5b に示す. 得られた分布のうち, 最大隆起量は 9 cm 程度とな
198 り, 近傍の観測点を使用した結果 (Fig. 5a) に比べて半分以下となった. 全体的な波
199 源域の広がりも, 全ての観測点を用いて得られた波源分布に対して空間的に滑らか
200 にしたような分布となった. この分布から計算される津波波形は DONET の波形をよ
201 く再現するが, N-net の再現度は低い (Fig. 5c, 灰色破線). とくに, 震央の周辺の観
202 測点における津波のピークが説明できていない. 観測点が震源域から遠く離れてお
203 り, また, 観測点の包囲性が低かったために, 波源の分布を精度良く推定できなかつ
204 たと解釈される. この解析結果は, 震源域周辺に展開された N-net の水圧記録が, 津
205 波の波源の水平位置に加えてその変動量, すなわち震源断層の水平位置とすべり量
206 の推定の信頼度の向上に貢献しうることを意味する.

207 4.3 フォワード計算との比較

208 インバージョンにより得られた隆起の位置や最大隆起量は、前節でのフォワード
209 計算において仮定した各モデルの海底上下変位分布とおおむね整合する。そのなか
210 でも、GCMT 解にもとづいて計算した上下変位分布が、津波波源分布の隆起のピー
211 クの位置とよく一致した (Fig. 6a)。これは、観測波形の再現度が GCMT にもとづく
212 フォワード計算がもっとも良かったとする前章の結果と整合的である。

213 陸上の GNSS 観測記録にもとづいて推定された矩形断層モデル [国土地理院
214 (2024)] から期待される上下変位 (Fig. 3d) と本津波波源分布を比較すると、その隆
215 起のピークは、本モデルのほう約 10 km 陸側に位置する。陸上 GNSS を用いて推
216 定した矩形断層モデルから期待される海底上下変位では、震源のごく近傍の観測点
217 の津波のピークの到達タイミングが 5–10 分ほど合わないことから、この水平位置の
218 違いは有意なものであると解釈される。

219 一般に、陸から離れた沖合の遠くで断層すべりが生じた場合、陸上では地表変位は
220 あまり生じない。このため、陸上の GNSS の記録から沖合の地震の震源断層モデルを
221 推定する場合には、沖合のすべりの推定誤差が大きくなってしまふことが知られて
222 いる [Loveless and Meade (2010, 2011), Kubo and Kakehi (2013)]. 国土地理院 (2024) の
223 モデルによる上下変位分布が津波波源分布とずれていることや、このモデルから計
224 算された津波の到達時刻が観測と合わないことから、陸上の GNSS 記録だけでは断
225 層の水平位置を精度よく拘束するのが難しいことが示唆される。とくに、断層の沖合
226 側、すなわち **up-dip** 側の広がりやの推定精度が高くないと考えられることから、沖合
227 で発生した 2024 年日向灘の地震の断層の **up-dip** 側の端の位置を精度良く推定するに
228 は沖合の津波データを用いる必要があることを示している。

229

230 § 5. 議論

231 5.1 過去の地震との対応関係

232 2024 年日向灘の地震の震源域のごく近傍では、過去にいくつか M7 前後の地震が
233 発生している。顕著なものに、1961 年に発生した地震 (Fig. 6b)、および 1996 年に発
234 生した 2 つの地震 (Fig. 6c) がある。ここでは、本解析により得られた結果を先行研
235 究による過去の地震の解析結果と比較する。

236 1961 年 2 月 27 日 3:10 (日本時間) に発生した M_{JMA} 7.0 の地震では、宮崎で最大震

237 度「V 強震」(現在の震度 5 弱から 5 強に相当) が記録され、また、九州、四国地方か
238 ら中部地方の太平洋沿岸の検潮所で津波が記録された [気象庁 (1961)]. Fig. 1 に津
239 波が記録された地点を示している. 気象庁 (1961) によると、宮崎県日南市油津の検
240 潮所では地震発生から 2 分後に津波の第一波が到達し、押し波の最大波高は 34 cm で
241 あった. また、日向市細島では地震発生から 13 分後に第一波が到達、最大波高は 45
242 cm, 高知県土佐清水では 33 分後に第一波が到達、最大波高は 30 cm であった. これ
243 に対し、2024 年日向灘の地震では、油津では初動到達時刻は不明で最大波高は 40 cm,
244 細島では、初動到達は地震発生から 23 分後で最大波高は 17 cm, 土佐清水では初動
245 到達は地震発生の 33 分後、最大波高 25 cm であったことが報告されており [気象庁
246 (2024b), 地震調査研究推進本部 (2024)], 両者の初動の到達時刻や最大波高はほぼ一
247 致する. さらに Hatori (1969) は、沿岸の検潮記録の初動の到達時刻をもとに津波逆
248 伝播解析を行い、1961 年の地震の津波の波源領域を推定した (Fig. 6b, 破線の領域).
249 N-net と DONET の津波記録から推定された 2024 年日向灘の地震の津波波源は、1961
250 年の地震の津波波源領域の南側の一部と重なる. このことから、2024 年日向灘の地
251 震では、1961 年の地震の際に破壊したプレート境界断層の南側の一部が破壊した可
252 能性がある.

253 Hatori (1969) による 1961 年の地震の津波波源域は、本研究による 2024 年日向灘
254 の地震の津波波源域よりも北に広く分布するが、この解釈として、1961 年の地震で
255 破壊した領域が実際に 2024 年の地震よりも北に広がった可能性があげられる. また、
256 他の可能性として、1961 年当時は沿岸検潮記録しか存在しなかった点や Hatori (1969)
257 の解析の不確実性さに由来して、実際よりも津波波源域が北側に広く推定されてし
258 まった可能性もあげられる. より詳細に両者の地震の破壊域の違いを評価するには、
259 2 つの地震の検潮所の波形記録を比較することが必要であろう.

260 1996 年 10 月 19 日 23:44 および 12 月 3 日 7:17 (ともに日本時間) には、それぞれ
261 M_{JMA} 6.9 と 6.7 の地震が発生した (Fig. 6c). 前者の地震では宮崎市と鹿児島県鹿屋市
262 で最大震度 5 弱が記録された (気象庁, 1996). 沿岸では、高知県の土佐清水と室戸
263 の検潮所で最大 14 cm の津波が観測された [気象庁 (1996), 羽鳥 (1998)]. 後者の地
264 震では、宮崎市で最大震度 5 弱が記録され [気象庁 (1997)], 油津の検潮所で最大振
265 幅 15 cm の津波が記録された [気象庁 (1997), 羽鳥 (1998)]. 近地の強震波形と測地
266 データのインバージョン解析から推定されたこれらの地震のすべり分布 [Yagi *et al.*

267 (1999)] と、本研究が推定した 2024 年日向灘の地震の津波波源分布および GCMT 解
268 にもとづいて仮定した矩形断層モデルの位置関係を Fig. 6c に示す. 1996 年 10 月の
269 地震は, 2024 年の地震の断層の北東に位置し, その破壊域は重なっていない. 1996
270 年 12 月の地震は, 2024 年の地震の北西に位置し, 主な破壊が生じた場所は棲み分け
271 ている. GCMT 解から仮定した矩形断層が 1996 年 12 月の地震の破壊域と一部重な
272 っているように見えるが, これは仮定した断層が単純な矩形断層の形をしているこ
273 とが理由と考えられる. 陸上の GNSS データの解析から, 2024 年の地震やその余効
274 すべりについて, 九州・パラオ海嶺の沈み込みに伴うプレート境界の固着状態の空間
275 不均質性 [e.g. Yamamoto *et al.* (2013)] が, その発生様式と関係していると指摘する研
276 究もある [Itoh (2024), Zhang *et al.* (2024)]. 海嶺の沈み込みと地震発生の関係や破壊
277 域の位置関係についてより詳細に議論するには, 津波の波源分布や CMT 解にもとづ
278 く単純な矩形断層ではなく, 断層面上での不均質すべり分布を推定して議論するこ
279 とが必要であり, そのうえで直上で得られた N-net の津波データは非常に有用なもの
280 となるであろう.

281 5.2 N-net による津波観測の有効性とその限界

282 津波は, その伝播速度が地震波に比べてはるかに遅く, 断層面上での破壊は瞬間的
283 に生じたと仮定することが可能である. これにより, 地震波を用いたインバージョン
284 解析で問題となる断層面上の破壊フロントの伝播速度の仮定と最終すべり領域のト
285 レードオフの影響を受けない [Kubota *et al.* (2021)]. また, 津波の伝播速度は海底の
286 水深によってほぼ規定され, 海底の水深のデータは地下の地震波速度構造よりも高
287 い精度で得られている. 以上の利点から, 津波の観測データや津波の波源分布は, そ
288 の直下で破壊した断層の空間の水平位置や空間広がりを抑えるのに有効である. こ
289 こまでの解析から, 震源域の近傍の N-net の津波観測記録を用いることで, 2024 年
290 日向灘の地震の津波波源の分布を詳細に推定できること, とくに, 陸上の GNSS から
291 では拘束が難しい断層の沖合側, すなわち up-dip 側の広がり の推定精度の向上に有
292 効であることがわかった. 津波のデータがどの程度推定精度の向上に貢献するかを
293 評価するため, 2024 年日向灘の地震の矩形断層モデルの推定を試みて, その推定の
294 精度について議論を行う.

295 ここでは, Kubo *et al.* (2023) の手法にもとづいて断層モデルを推定する. この手法
296 は, 波源インバージョンにより推定された津波の波源分布を海域にある上下動測地

297 データとみなし、測地データを説明する1枚の矩形断層をマルコフ連鎖モンテカル
298 ロ法 (MCMC 法) にもとづいて推定するものである。MCMC 法に基づく断層モデル
299 の推定において、(a) 陸上の GNSS のみを用いた場合、(b) 沖合の津波波源のみ、(c)
300 陸上の GNSS と沖合の津波波源の両者を用いた場合、の3種類のデータセットにつ
301 いて解析を行い、推定される最適解の違いを評価した。陸上の GNSS データにおいて
302 は、国土地理院の GEONET における変位データを使用する。本解析では、水平およ
303 び上下変動成分を使用した。

304 それぞれの解析により得られた最適な断層を、Fig. 7 に示す。GNSS のみ用いて推
305 定された断層は、国土地理院 (2024) とほぼ同様の水平位置に推定されたが、その幾
306 何や深さに違いがみられた (Fig. 7a)。これは、それぞれの解析における事前情報の与
307 え方などの解析設定の違いに起因すると考えられる。また、本研究で GNSS のみを用
308 いて推定された断層の走向は実際の沈み込むプレートの走向と整合せず、また、推定
309 された断層中央の深さ (13 km) はプレート境界深さ (約 25 km [e.g. Hirose *et al.*
310 (2008)]) および CMT 解のセントロイドの深さ (24 km, GCMT) よりも顕著に浅い。

311 津波のみ用いた場合には、推定された断層の走向は CMT 解やプレート形状から期
312 待されるものに近い値が得られたが、断層長さ L に対して幅 W が非常に小さく推定
313 された (Fig. 7b)。この断層モデルから計算した GNSS 観測点での変位は、実際の観
314 測よりもかなり過小な値となった。2024 年の地震のケースにおいては、断層は陸に
315 近い沖合に位置し、その沈降域が陸に一部重なっている (Fig. 3)。このような場合に
316 は、陸に重なっている領域の上下変位は津波を生成しないため、津波波源インバージ
317 ョンにより推定された津波波源には陸域の沈降の分布の情報が含まれない。震源域
318 近傍の GNSS 観測点では沈降が記録されていたが、津波波源データのみを用いた解
319 析 (Fig. 7b) では陸域の沈降の情報がなかったために断層の down-dip 側の広がり
320 を正しく拘束できず、幅 W が小さい解が得られたしまったと考えられる。沖合で発生
321 した地震の断層が比較的陸に近く、上下変動域の一部が陸と重なる場合には、津波の
322 記録からでは断層の down-dip 側の広がりを拘束するのが困難であると指摘されてい
323 る [e.g. Kim *et al.* (2023)]。2024 年日向灘の地震もこれに当てはまり、津波データ
324 は断層の up-dip 側の広がりを拘束するのに有用であるが、down-dip 側の広がりを拘
325 束するのは困難であると言える。

326 最後に、両者のデータを用いて推定された矩形断層モデルを Fig. 7c に示す。得ら

327 れた走向, 傾斜, すべり角や断層の広がり, おおむね GCMT 解をもとに仮定した
328 断層モデル (Fig. 3a) と調和的であった. また, この周辺のプレート境界の形状 [e.g.
329 Hirose *et al.* (2008)] とよく対応する. 津波の波源分布と陸上の GNSS をともによく
330 説明するモデルが得られた. 以上の解析の結果は, 2024 年日向灘の地震において,
331 N-net の震源域周辺の津波記録が津波の波源分布の推定には非常に有用であり, なお
332 かつ, その直下のプレート境界で起こったすべり域の東側, すなわち断層の up-dip 側
333 の広がりを拘束するのに非常に効果的であることを意味する一方で, 断層の down-
334 dip 側の広がりも含めて信頼度の高い震源断層モデルを求めるためには, 津波記録の
335 みでは不十分であり, 陸上の GNSS データとのジョイント解析が重要であることを
336 意味している.

337 本解析における津波波源インバージョンでは地震発生から 1 時間の津波波形を使用
338 した. 本稿における解析は, 解析上の拘束条件や初期条件の設定に関する調整など
339 の試行錯誤も含めて事後的に実施されたものであるが, 津波の観測データの処理や
340 津波波源インバージョン解析, MCMC 法による断層モデルの推定のみには絞れば, 実
341 際にかかった時間は, すべて合わせても 30 分に満たない. 仮に, 解析上の条件が事
342 前に設定されたうえでこれらの解析がリアルタイムに実施されていれば, 地震発生
343 から 1 時間半程度で Fig. 3c のような矩形断層モデルを得ることができたと考えられ
344 る. 南海トラフ沿いで発生した異常な現象を観測した場合等には, 気象庁が「南海ト
345 ラフ地震臨時情報」を発表することとされている [気象庁 (2024b)]. 南海トラフ沿い
346 で異常な現象が観測された場合, 5~30 分後に南海トラフ地震臨時情報 (調査中) が
347 発表され, 「南海トラフ沿いの地震に関する評価検討会」の臨時会合が招集される.
348 その後, 評価検討会の調査結果を受けて, 数時間以内に情報が発表される. 2024 年
349 日向灘の地震においても, 地震発生から約 2 時間 30 分後に「南海トラフ地震臨時情
350 報 (巨大地震注意)」が発表された [気象庁 (2024e)]. 本研究で実施したデータ解析
351 がリアルタイムに実施できれば, 地震発生から臨時情報の発表までの時間内に解析
352 が完了することになる. このことから, N-net や DONET の津波データあるいはその
353 解析によって得られた津波波源や矩形断層が, 南海トラフ地震臨時情報の発表のた
354 めの調査に資する潜在的な可能性を有していると言える.

355

356 § 5. まとめ

357 本研究では、2024年8月8日に発生した日向灘の地震について、N-net 沖合システ
358 ムおよび DONET の水圧計が記録した津波の波形の解析を実施した。津波のフォー
359 ド計算の解析からは、観測網が整備されて以降初めて顕著な近地津波が観測され、N-
360 net の水圧計が津波を正しく記録できていることが確認できた。さらに、それらの津
361 波記録を用いて津波の波源分布を推定した結果、CMT 解から期待されるものと調和
362 的な津波の波源分布が得られ、陸上の GNSS 記録にもとづく解析結果との比較から
363 は、沖合の津波記録が断層の沖側の広がり、すなわち断層の上端の推定精度向上に有
364 効であることが示された。過去の地震との比較からは、2024年日向灘の地震は1961
365 年の地震の破壊域の一部が再び破壊したことが示唆され、1996年に起こった地震と
366 は破壊域が棲み分けていることが示唆される結果となった。今後、N-net と DONET
367 の沖合津波データのリアルタイム解析が実現すれば、地震や津波の観測や監視とあ
368 わせて、防災対策の向上に資することが期待される。

369

370 謝辞

371 本研究では、国土地理院の GEONET の GNSS のデータを使用した。GNSS データ
372 は、Nevada Geodetic Laboratory (<http://geodesy.unr.edu>) により処理されたもの [Blewitt
373 *et al.* (2018)] を利用し、GNSS データは
374 http://geodesy.unr.edu/news_items/20240812/us6000nith_forweb.txt よりダウンロードし
375 た。CMT 解のデータは各研究機関のウェブサイトよりダウンロードした。国土地理
376 院の矩形断層モデル [国土地理院 (2024)] の断層のパラメタは地震調査研究推進本
377 部 (2024) より取得した。潮汐解析プログラム Baytap08 [Tamura and Agnew (2008)] は
378 <https://igppweb.ucsd.edu/~agnew/Baytap/baytap.html> よりダウンロードした。波形処理
379 には、Seismic Analysis Code (SAC) software [Goldstein *et al.* (2003)] を使用した。津波
380 の計算においては、アメリカ海洋大気庁 (National Oceanic and Atmospheric
381 Administration, NOAA) による ETOPO2022 海底地形データ [NOAA National Centers
382 for Environmental Information, (2022)] を使用した。図の作成には Generic Mapping Tools
383 (GMT) version 6 [Wessel *et al.* 2019)] を使用した。以上、関係各位に記して感謝申し上
384 げる。

385 また、本研究では、防災科学技術研究所の DONET と N-net の記録 [防災科学技術
386 研究所 (2019, 2024)] を、観測網データの利用要領

387 (<https://www.mowlas.bosai.go.jp/policy/data/>) に従って使用した。なお、N-net 沖合シス
388 テムのデータは 2024 年 10 月の本格運用の開始とともに公開されている。本解析に
389 より推定された津波波源分布 (Fig. 5a) のデータは、[https://doi.org/](https://doi.org/10.5281/zenodo.14020781)
390 [10.5281/zenodo.14020781](https://doi.org/10.5281/zenodo.14020781) で公開している [Kubota (2024)].

文献

- 391
392 Aoi, S., Y. Asano, T. Kunugi, T. Kimura, K. Uehira, N. Takahashi, and H. Ueda, 2020,
393 MOWLAS: NIED observation network for earthquake, tsunami and volcano, *Earth*
394 *Planets Space* **72**, 126, doi:10.1186/s40623-020-01250-x.
- 395 Aoi, S., T. Takeda, T. Kunugi, M. Shinohara, T. Miyoshi, K. Uehira and N. Takahashi, 2023,
396 Development and construction of Nankai trough seafloor observation network for
397 earthquakes and tsunami: N-net, 2023 IEEE Underwater Technology,
398 doi:10.1109/UT49729.2023.10103206.
- 399 Blewitt G., W. C. Hammond, and C. Kreemer, 2018, Harnessing the GPS data explosion for
400 interdisciplinary science, *Eos*, **99**, doi:10.1029/2018EO104623.
- 401 防災科学技術研究所, 2019, 防災科研 DONET, 防災科研機関リポジトリ,
402 doi:10.17598/nied.0008.
- 403 防災科学技術研究所, 2024, 防災科研 N-net, 防災科研機関リポジトリ,
404 doi:10.17598/nied.0029.
- 405 Ekström G., M. Nettles, and A. M. Dziewoński, 2012, The global CMT project 2004-2010:
406 Centroid-moment tensors for 13,017 earthquakes, *Phys. Earth. Planet. Inter.* **200–**
407 **201**,1–9, doi:10.1016/j.pepi.2012.04.002.
- 408 福山英一・石田瑞穂・Douglas S. Dreger・川井啓廉, 1998, オンライン広帯域地震デ
409 ータを用いた完全自動メカニズム決定, *地震* **2**, **51**, 149–156,
410 doi:10.4294/zisin1948.51.1_149.
- 411 Goldstein P., D. Dodge, M. Firpo, and L. Minner, 2003, SAC2000: Signal processing and
412 analysis tools for seismologists and engineers, in “International Handbook of
413 Earthquake and Engineering Seismology”, ed. by W. H. K. Lee, H. Kanamori, P. C.
414 Jennings, and C. Kisslinger, Academic Press, **81**, 1613–1614, doi:10.1016/S0074-
415 6142(03)80284-X.
- 416 Hatori, T., 1969, A study of the wave sources of the Hiuganada tsunamis. *Bull. Earthq. Res.*
417 *Inst.*, **47**, 55–63, doi:10.15083/0000033387.
- 418 羽鳥徳太郎, 1998, 1996年日向灘津波と九州東部域の放出津波エネルギー分布, *津波*
419 *工学研究報告*, **15**, 43–50.
- 420 Hirose, F., J. Nakajima, and A. Hasegawa, 2008, Three-dimensional seismic velocity

421 structure and configuration of the Philippine Sea slab in southwestern Japan estimated
422 by double-difference tomography, *J. Geophys. Res.*, **113**, B09315,
423 doi:10.1029/2007JB005274.

424 Houston, M. H., and J. M. Paros, 1998, High accuracy pressure instrumentation for
425 underwater applications, *Proc. 1998 Int. Symp. Underwater Technol.*, 307–311,
426 doi:10.1109/UT.1998.670113.

427 Ishibashi, K., 2004, Status of historical seismology in Japan, *Ann. Geophys.*, **47**, 339–368,
428 doi:10.4401/ag-3305.

429 Itoh, Y., 2024, Coseismic slip and afterslip of the 2024 Hyuganada earthquake modulated by
430 subducted seamount, *EarthArXiv*, doi:10.31223/X5Z11T.

431 地震調査研究推進本部, 2001, 南海トラフの地震の長期評価について,
432 <https://www.jishin.go.jp/main/chousa/kaikou_pdf/nankai.pdf>, (参照 2024-11-01).

433 地震調査研究推進本部, 2013, 南海トラフの地震活動の長期評価 (第二版) につい
434 て, <https://www.jishin.go.jp/main/chousa/kaikou_pdf/nankai_2.pdf>, (参照 2024-11-
435 01).

436 地震調査研究推進本部, 2024, 2024年8月8日日向灘の地震の評価,
437 <https://www.static.jishin.go.jp/resource/monthly/2024/20240808_hyuganada_2.pdf>,
438 (参照 2024-11-01).

439 Kaneda, Y., K. Kawaguchi, E. Araki, H. Matsumoto, T. Nakamura, S. Kamiya, K. Ariyoshi,
440 T. Hori, T. Baba, and N. Takahashi, 2015, Development and application of an advanced
441 ocean floor network system for megathrust earthquakes and tsunamis, in “Seafloor
442 Observatories: A new vision of the Earth from the Abyss”, ed. by P. Favali, L.
443 Beranzoli, and A. De Santis, Springer, 643–662, doi:10.1007/978-3-642-11374-1_25.

444 Kawaguchi, K., S. Kaneko, T. Nishida, and T. Komine, 2015, Construction of the DONET
445 real-time seafloor observatory for earthquakes and tsunami monitoring, in “Seafloor
446 Observatories: A new vision of the Earth from the Abyss”, ed. by P. Favali, L.
447 Beranzoli, and A. De Santis, Springer, 211–228, doi:10.1007/978-3-642-11374-1_10.

448 Kim, S.B., T. Saito, T. Kubota, and S.-J. Chang, 2023, Joint inversion of ocean-bottom
449 pressure and GNSS data from the 2003 Tokachi-oki earthquake, *Earth Planets Space*,
450 **75**, 113, doi:10.1186/s40623-023-01864-x.

451 気象庁, 1961, 日向灘地震調査報告, 験震時報, **26**, 81–107.

452 気象庁, 1996, 1996 年 10 月 19 日の日向灘の地震 (M6.6) , 地震予知連絡会会報, **57**,

453 644–659, <<https://cais.gsi.go.jp/YOCHIREN/report/kaihou57/09-07.pdf>>, (参照 2024-

454 11-01).

455 気象庁, 1997, 1996 年 12 月 3 日の日向灘の地震 (M6.6) , 地震予知連絡会会報, **58**,

456 619–622, <<https://cais.gsi.go.jp/YOCHIREN/report/kaihou58/09-08.pdf>>, (参照 2024-

457 11-01).

458 気象庁, 2024a, 令和 6 年 8 月 8 日 16 時 43 分頃の日向灘の地震について,

459 <<https://www.jma.go.jp/jma/press/2408/08b/202408081745.html>>, (参照 2024-11-01).

460 気象庁, 2024b, 令和 6 年 8 月 8 日 16 時 43 分頃の日向灘の地震について (第 2 報)

461 及び南海トラフ地震関連解説情報 (第 1 号) について,

462 <<https://www.jma.go.jp/jma/press/2408/09a/202408091530.html>>, (参照 2024-11-01).

463 気象庁, 2024c, 2024 年 8 月 8 日日向灘の地震-遠地実体波による震源過程解析 (暫

464 定) -,

465 <<https://www.data.jma.go.jp/eqev/data/sourceprocess/event/2024080816425559far.pdf>>

466 , (参照 2024-11-01).

467 気象庁, 2024d, 2024 年 8 月 8 日日向灘の地震-近地強震波形による震源過程解析 (暫

468 定) -,

469 <<https://www.data.jma.go.jp/eqev/data/sourceprocess/event/2024080816425559near.pdf>>

470 f>, (参照 2024-11-01).

471 気象庁, 2024e, 南海トラフ地震臨時情報 (巨大地震注意) について,

472 <<https://www.jma.go.jp/jma/press/2408/08e/202408081945.html>>, (参照 2024-11-01).

473 国土地理院, 2024, 令和 6 年(2024 年)宮崎県日向灘を震源とする地震に関する情報,

474 <https://www.gsi.go.jp/BOUSAI/20240808_hyuganada_earthquake_00001.html#6>,

475 (参照 2024-11-01).

476 Kubo, H. and Y. Takehi, 2013, Source process of the 2011 Tohoku earthquake estimated

477 from the joint inversion of teleseismic body waves and geodetic data including seafloor

478 observation data: source model with enhanced reliability by using objectively

479 determined inversion settings, Bull. Seismol. Soc. Am., **103**, 2B, 1195–1220,

480 doi:10.1785/0120120113.

481 Kubo, H., T. Kubota, W. Suzuki, and T. Nakamura, 2023, On the use of tsunami-source data
482 for high-resolution fault imaging of offshore earthquakes. *Earth Planets Space* **75**, 125,
483 doi:10.1186/s40623-023-01878-5.

484 Kubota, T., T. Saito, Y. Ito, Y. Kaneko, L. M. Wallace, S. Suzuki, R. Hino, and S. Henrys,
485 2018, Using tsunami waves reflected at the coast to improve offshore earthquake source
486 parameters: Application to the 2016 Mw 7.1 Te Araroa earthquake, New Zealand, *J.*
487 *Geophys. Res. Solid Earth*, **123**, 8767–8779, doi:10.1029/2018JB015832.

488 Kubota, T., H. Kubo, K. Yoshida, N. Y. Chikasada, W. Suzuki, T. Nakamura, and H.
489 Tsushima, 2021, Improving the constraint on the Mw 7.1 2016 off-Fukushima shallow
490 normal-faulting earthquake with the high azimuthal coverage tsunami data from the S-
491 net wide and dense network: Implication for the stress regime in the Tohoku overriding
492 plate. *J. Geophys. Res. Solid Earth*, **126**, e2021JB022223, doi:10.1029/2021JB02223.

493 Kubota, T., 2024, Tsunami source model of the earthquake beneath Hyuganada Sea on 8
494 August 2024 estimated using ocean-bottom pressure gauge records of N-net and
495 DONET, Zenodo, doi:10.5281/zenodo.14020781

496 Loveless, J.P. and B. J. Meade, 2010, Geodetic imaging of plate motions, slip rates, and
497 partitioning of deformation in Japan, *J. Geophys. Res.*, **115**, B02410,
498 doi:10.1029/2008JB006248.

499 Loveless, J. P. and B. J. Meade, 2011, Spatial correlation of interseismic coupling and
500 coseismic rupture extent of the 2011 Mw = 9.0 Tohoku-oki earthquake, *Geophys. Res.*
501 *Let.*, **38**, L17306, doi:10.1029/2011GL048561.

502 NOAA National Centers for Environmental Information, 2022, ETOPO 2022 15 arc-second
503 global relief model, NOAA National Centers for Environmental Information,
504 doi:10.25921/fd45-gt74.

505 野田隆一郎・大町敏彦・吉田隆司・岩井滋人・篠原雅尚・青井真・功刀卓・武田哲
506 也, 2023, 高精度な海底圧力観測におけるシリコン振動式圧力センサの有効性,
507 SSS12-P06, 日本地球惑星科学連合 2023 年大会,
508 <<https://confit.atlas.jp/guide/event/jpgu2023/subject/SSS12-P06/detail>>, (参照 2024-
509 11-01).

510 Okada, Y., 1992, Internal deformation due to shear and tensile faults in a half-space, *Bull.*

511 Seismol. Soc. Am., **82**, 1018–1040, doi:10.1785/BSSA0820021018.

512 Shinohara, M., S. Aoi, M. Mochizuki, K. Uehira, T. Yamada, T. Kunugi, T. Takeda, R. Noda,
513 and S. Iwai, 2022, Field evaluation of new silicon resonant sensor using MEMS
514 technology for ocean bottom pressure observation, NH22C-0432, AGU Fall Meeting
515 2022, <<https://agu.confex.com/agu/fm22/meetingapp.cgi/Paper/1086215>>, (参照 2024-
516 11-01).

517 篠原雅尚・青井真・望月将志・植平賢司・山田知朗・功刀卓・武田哲也・野田隆一
518 郎・岩井滋人, 2023, MEMS 技術を用いた新しいシリコン振動式圧力センサの性
519 能評価海底観測, SSS12-P07, 日本地球惑星科学連合 2023 年大会,
520 <<https://confit.atlas.jp/guide/event/jpgu2023/subject/SSS12-P07/detail>>, (参照 2024-
521 11-01).

522 Tamura Y., T. Sato, M. Ooe, and M. Ishiguro, 1991, A procedure for tidal analysis with a
523 Bayesian information criterion, *Geophys. J. Int.*, **104**, 507–516, doi:10.1111/j.1365-
524 246X.1991.tb05697.x.

525 Tamura Y., and D. C. Agnew, 2008, Baytap08 user's manual, UC San Diego: Scripps
526 Institution of Oceanography, <<https://escholarship.org/uc/item/4c27740c>>, (参照
527 2024-11-01).

528 Tsushima, H., R. Hino, Y. Tanioka, F. Imamura, and H. Fujimoto, 2012, Tsunami waveform
529 inversion incorporating permanent seafloor deformation and its application to tsunami
530 forecasting, *J. Geophys. Res.*, **117**, B03311, doi:10.1029/2011JB008877.

531 U.S. Geological Survey, 2024, M 7.1 - 2024 Hyuganada Sea, Japan Earthquake,
532 <<https://earthquake.usgs.gov/earthquakes/eventpage/us6000nith/executive>>, (参照
533 2024-11-01).

534 Wells D. and K. Coppersmith, 1994, New empirical relationships among magnitude, rupture
535 length, rupture width, rupture area, and surface displacement, *Bull. Seismol. Soc. Am.*,
536 **84**, 974–1002, doi:10.1785/BSSA0840040974.

537 Wessel, P., J. F. Luis, L. Uieda, R. Scharroo, F. Wobbe, W. H. F. Smith, and D. Tian, 2019,
538 The generic Mapping tools version 6, *Geochem. Geophys. Geosyst.*, **20**, 5556–5564,
539 doi:10.1029/2019GC008515.

540 Yagi, Y., M. Kikuchi, S. Yoshida, and T. Sagiya, 1999, Comparison of the coseismic rupture

541 with the aftershock distribution in the Hyuga-nada earthquake of 1996, *Geophys. Res.*
542 *Lett.*, **26**, 3161–3164, doi:10.1029/1999GL005340.

543 Yamamoto, Y., K. Obana, T. Takahashi, A. Nakanishi, S. Kodaira, and Y. Kaneda, 2013,
544 Imaging of the subducted Kyushu-Palau Ridge in the Hyuga-nada region, western
545 Nankai Trough subduction zone, *Tectonophysics*, **589**, 90-102,
546 doi:10.1016/j.tecto.2012.12.028.

547 Zhang, X., Li, S., and Chen, L., 2024, Failure of a deep asperity in Hyuga-nada, Japan: The
548 August 8, 2024 Mw 7.1 subduction zone earthquake [Preprint], ESS Open Archive,
549 doi:10.22541/essoar.172748272.20491481/v1.

550 Figure Captions

551 Fig. 1. Location map of this study. Red triangles and light blue inverted triangles are the station
552 locations of the N-net offshore system and DONET, respectively. Black squares are the
553 locations of the coastal tide gauges mentioned in this study. White star is the epicenter of
554 the Hyuganada Sea earthquake (M_{JMA} 7.1) on 8 August 2024, determined by Japan
555 Meteorological Agency (JMA) [JMA (2024)]. CMT solution is taken from the Global
556 CMT (GCMT). Black line indicates the trough axis. The stations shown in Fig. 4 is
557 marked by thick line. Larger scale map is also shown in the inset. Rectangular area
558 denotes the area in the main figure.

559

560 Fig. 2. Observed pressure records of N-net offshore system and DONET. (a) De-tided
561 waveforms. (b) Filtered waveforms. Station names and installation depths are shown in
562 the right of each panel. The names of the stations not working during the earthquake are
563 shown by gray. Lowpass (100 s) and bandpass (100–2,000 s) filters are applied to the
564 station NAE18 and the other stations, respectively. Note that the original sampling rate
565 is 10 Hz but the records are decimated to 1 Hz.

566

567 Fig. 3. Distributions of seafloor vertical displacement. The distributions due to the fault
568 models based on the (a) GCMT, (b) USGS, and (c) F-net solutions, (d) the rectangular
569 fault model by the Geospatial Information Authority of Japan (GSI), and the finite fault
570 models of (e) USGS, (f) JMA teleseismic, and (g) JMA regional seismic models. Solid
571 and dashed contour lines denote the uplift and subsidence regions, respectively, drawn
572 with 5 cm intervals. Rectangle with black lines is the location of the assumed fault. The
573 parameters of the assumed rectangular fault models are shown in each panel. Note that
574 the longitude, latitude and depth show the center location of the rectangular fault.

575

576 Fig. 4. Comparison of the forward tsunami simulations. Stations in (a,b) the western part of
577 N-net ((a) NAE18 and (b) NAE09), (c,d) the eastern part of N-net ((c) NAE15 and (d)
578 NAE06), and (e,f) DONET ((e) MRG28 and (f) KMC21) are shown. The locations of the
579 stations are marked in Fig. 1. The top waveform (black) is the observed data, and the

580 other gray waveforms are the calculated ones from the models in Fig. 3. Peak timings of
581 the significant tsunami wave phases are marked by vertical dashed lines. Note that the
582 vertical scale is different in each panel.

583

584 Fig. 5. Results of the tsunami source inversion. Tsunami source distributions estimated by (a)
585 using all stations and (b) using only the DONET data. Analytical area is shown by a
586 rectangular region and the center locations of the unit source elements are shown by cross
587 symbols. (c) Comparison of observed (black) and calculated waveforms. Red solid and
588 green dashed lines denote the waveforms calculated from the results with all stations and
589 only with DONET, respectively. The observed waveforms from 1 hour since the origin
590 time are used for the inversion analysis.

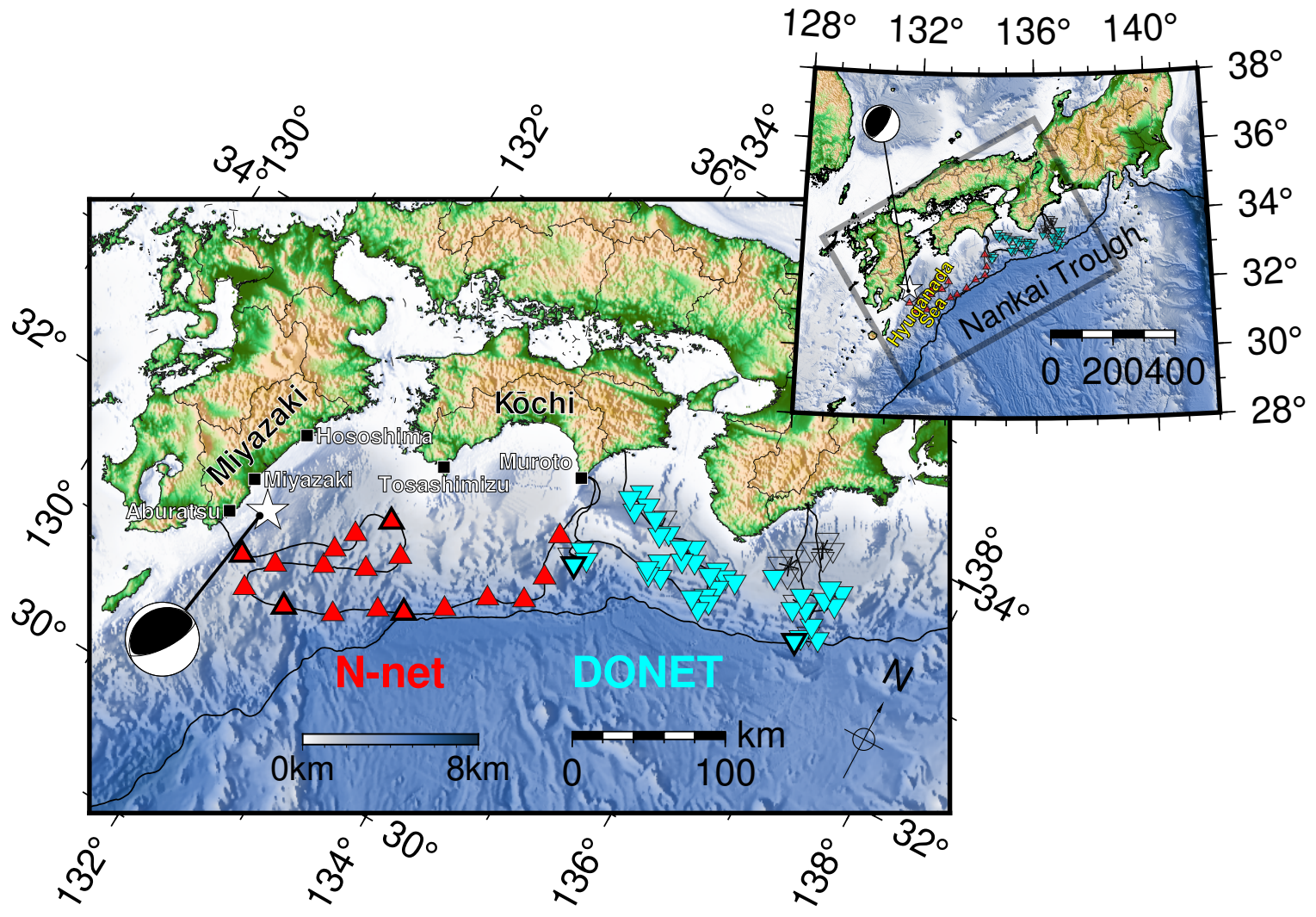
591

592 Fig. 6. Comparisons of the tsunami source with other results. (a) Comparison of the tsunami
593 source (colored background and gray contour line lines) with the vertical displacements
594 calculated from the GCMT solution (blue contour) and the GSI rectangular fault model
595 (green contour). The locations of the fault models are also marked by colored rectangles
596 (blue: GCMT, green: GSI). White star is the epicenter of the earthquake in Hyuganada
597 Sea in 2024 determined by JMA. (b) Comparison of the tsunami source (red contour)
598 with the tsunami source region of the 1961 earthquake (oval region marked by green
599 dashed line) estimated by the back projection analysis of the coastal tide gauges [Hatori
600 (1968)]. Green star is the epicenter of the 1961 earthquake determined by JMA. Light
601 blue rectangular region is the rectangular fault based on the GCMT solution. (c)
602 Comparison of the tsunami source (black contour lines) with the slip models of two
603 earthquakes in Hyuganada Sea in 1996 [Yagi *et al.* (1999)]. Interval of the slip contours
604 is 0.5 m. The magnitudes in this figure are taken from the JMA catalog. The rectangular
605 fault based on the GCMT solution is also shown by gray.

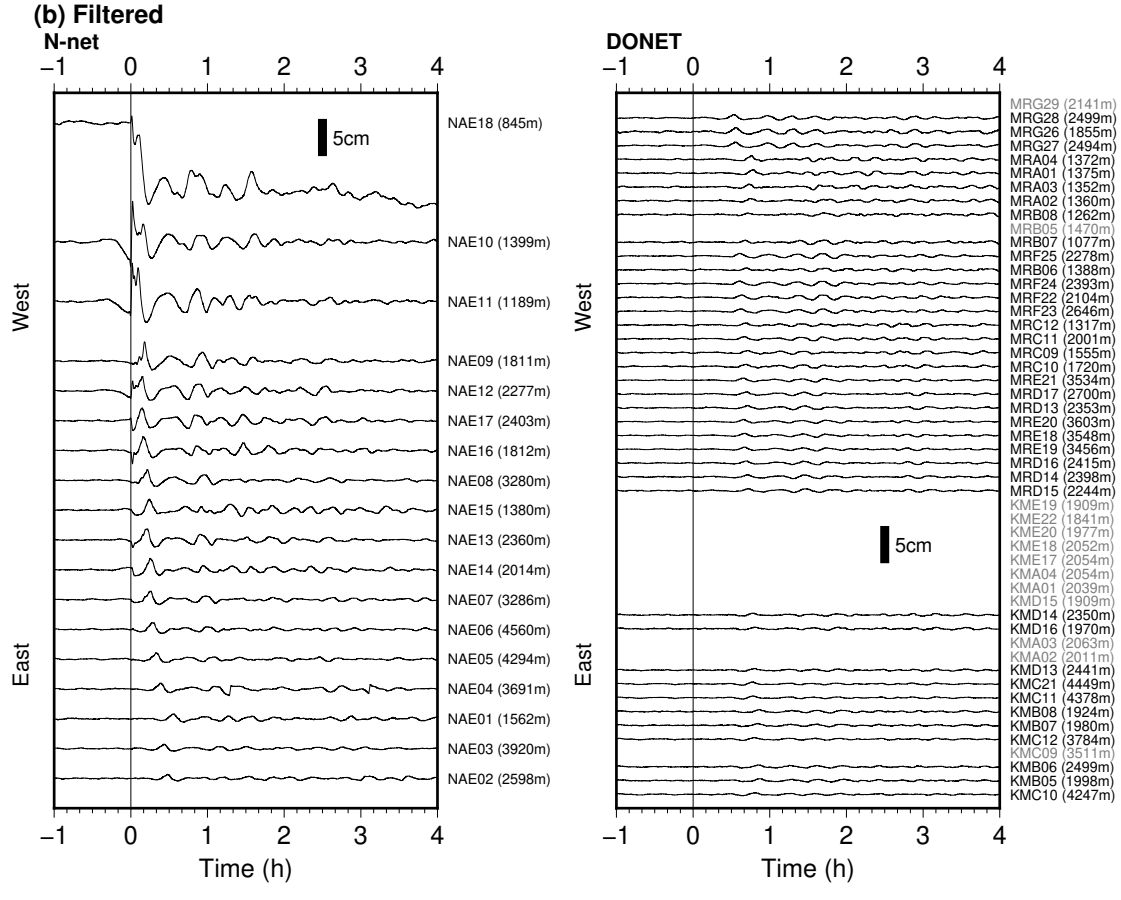
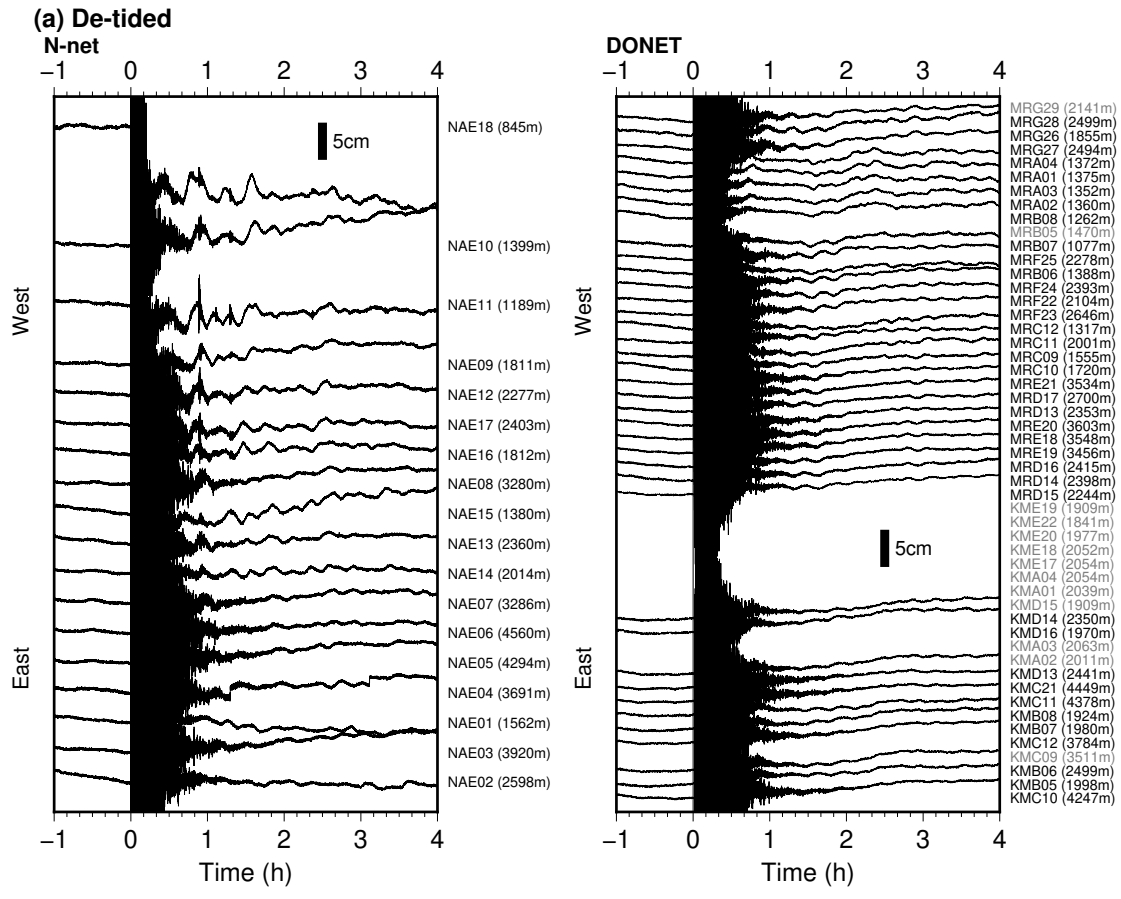
606

607 Fig. 7. Results of the rectangular fault modeling with the Markov chain Monte Carlo (MCMC)
608 method. The model estimated using (a) the onshore GNSS data alone, (b) the offshore
609 tsunami source data alone, and (c) Joint analysis of both GNSS and tsunami source data.

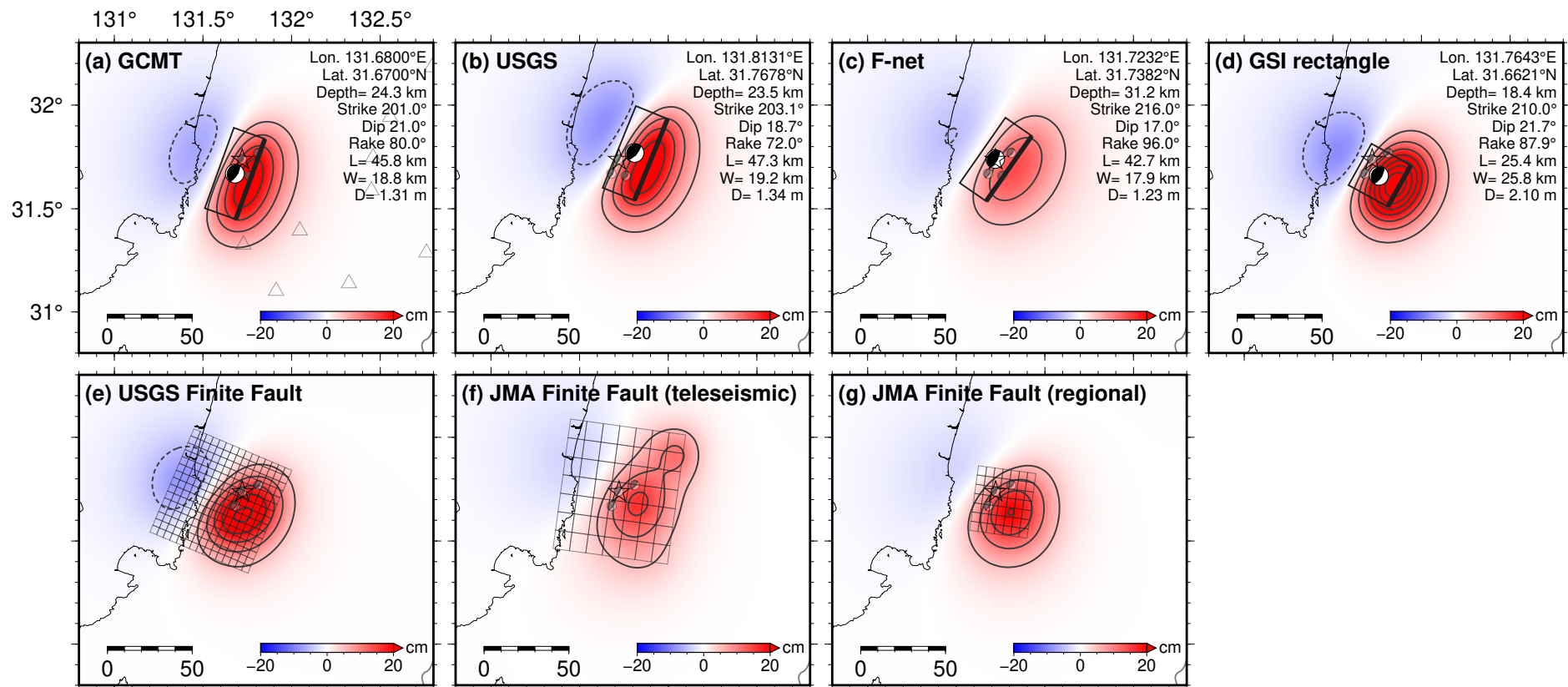
610 The upper panels show the location of the estimated rectangular fault and the vertical
611 displacement distribution. The lower panels show the comparison of the displacements
612 at the onshore GNSS stations (black: observation, gray: calculation).



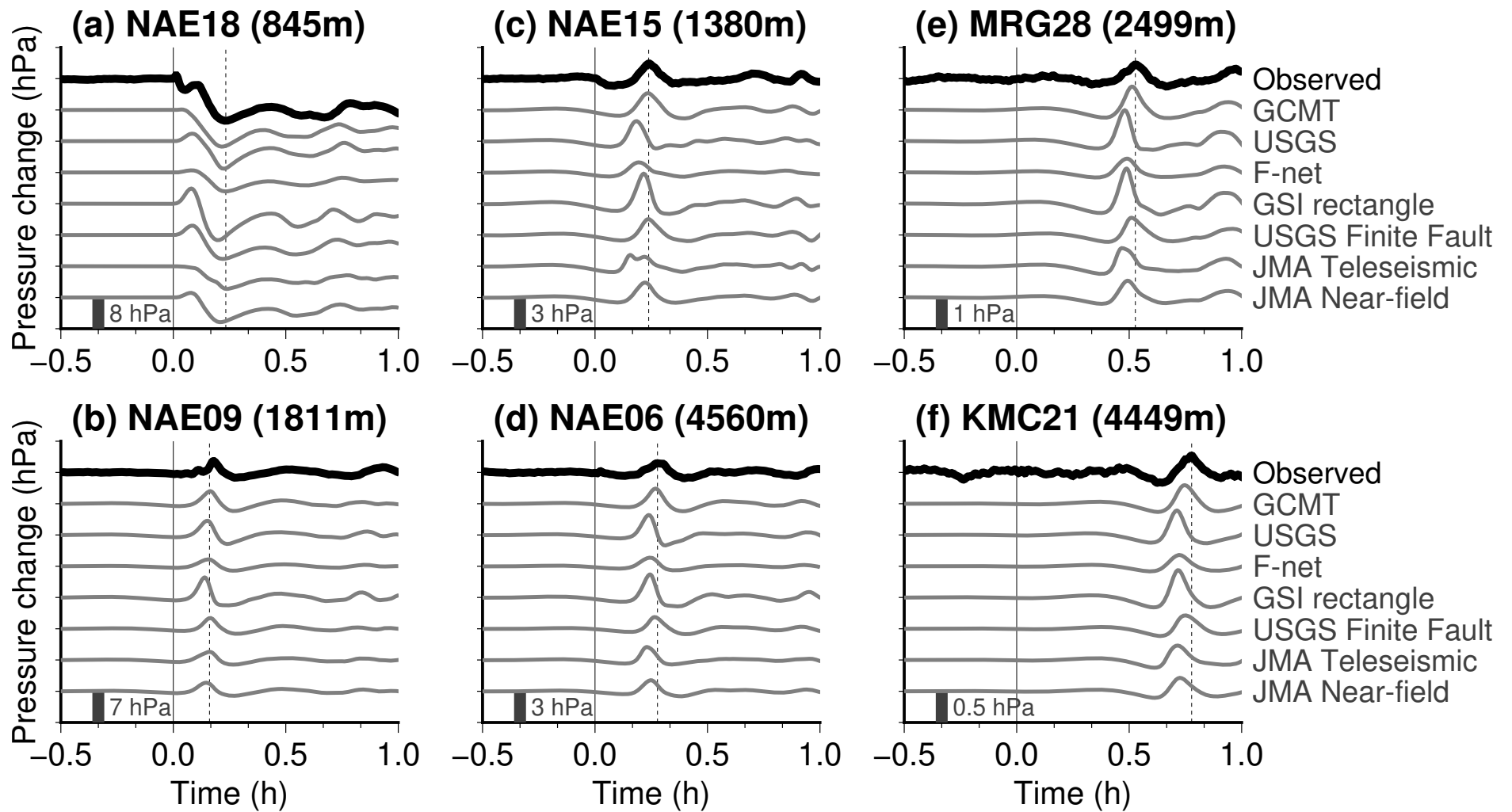
久保田・他 Fig. 1



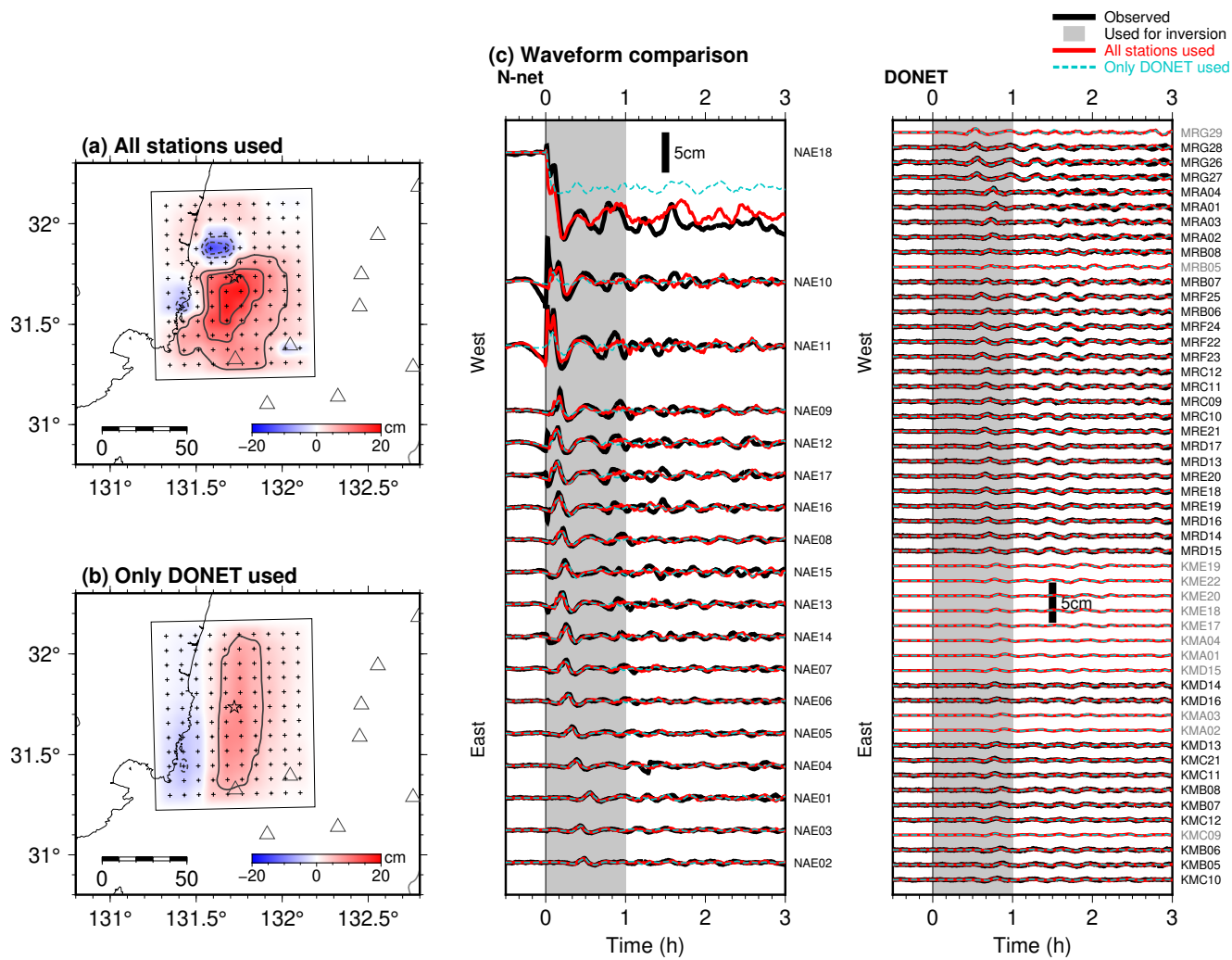
久保田・他 Fig. 2



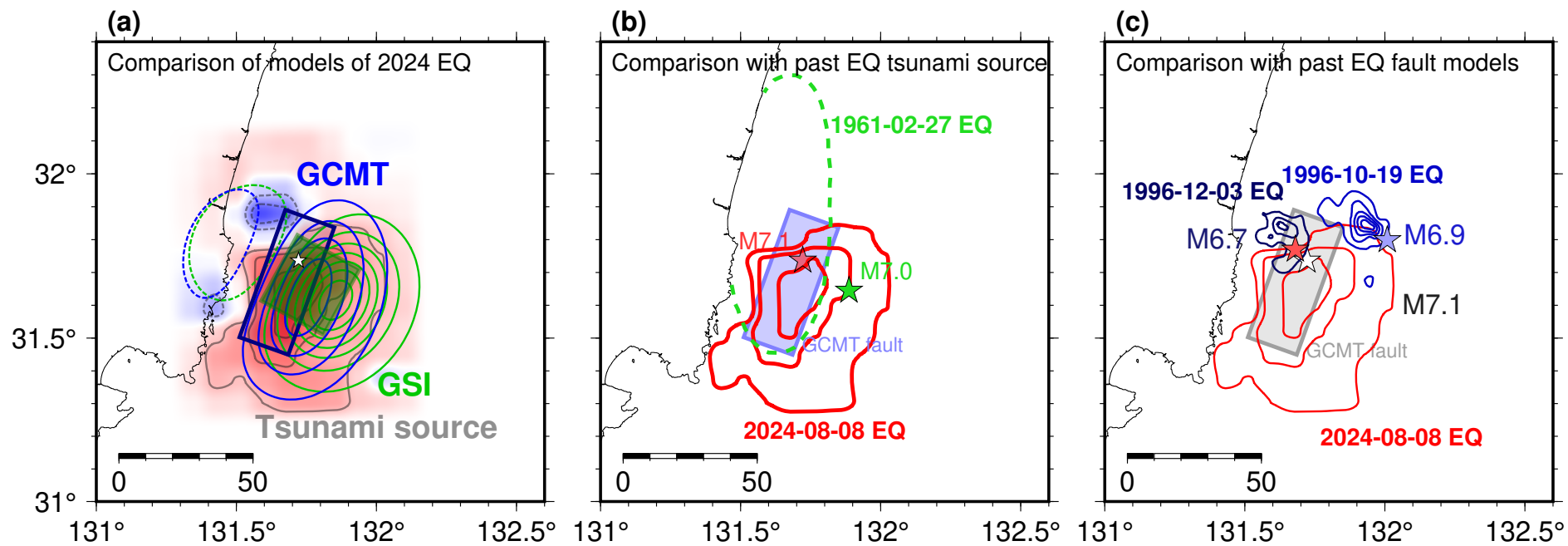
久保田・他 Fig. 3



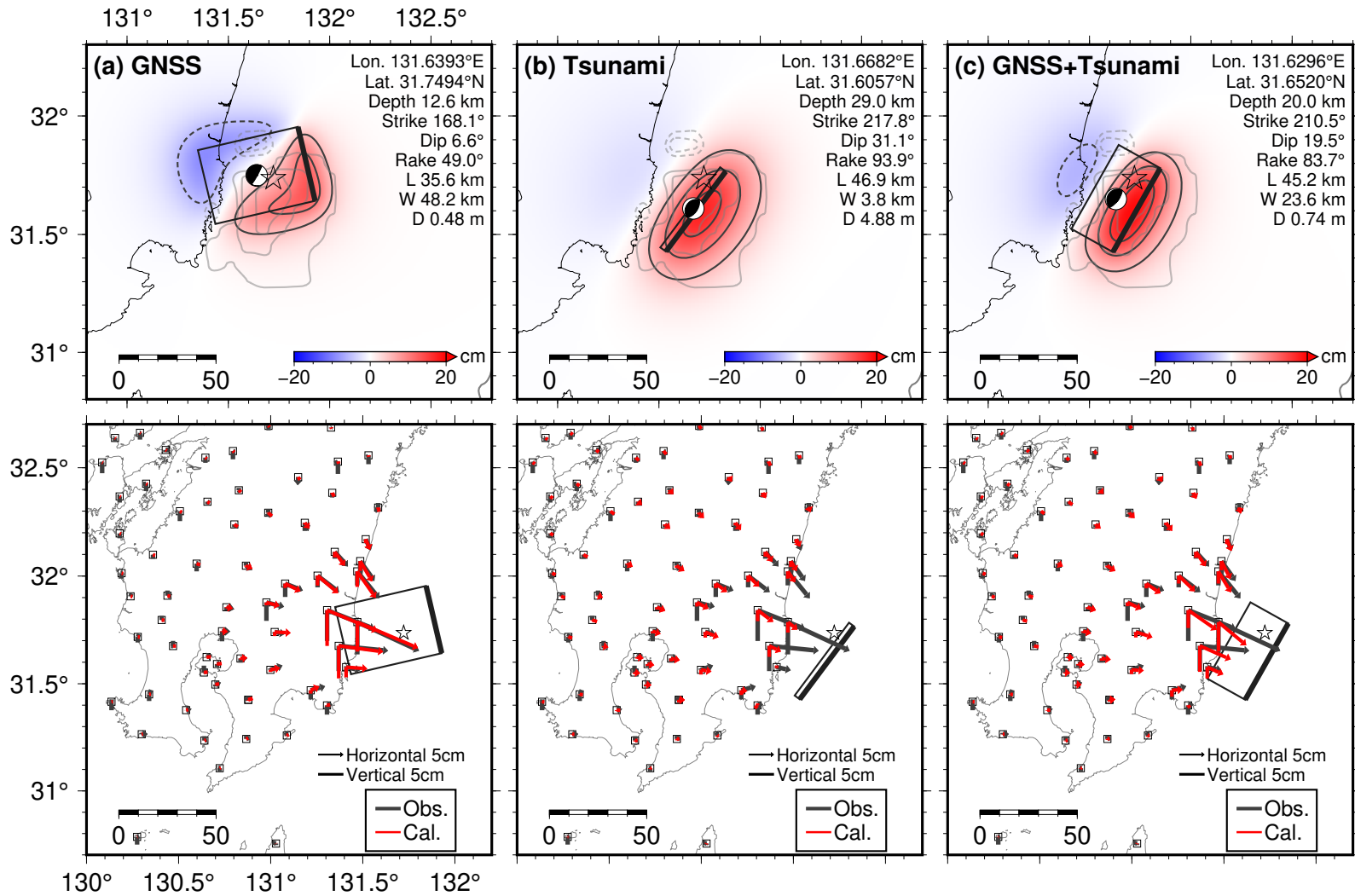
久保田・他 Fig. 4



久保田・他 Fig.5



久保田・他 Fig. 6



久保田・他 Fig. 7